

# 4-3 对称共焦腔内外的光场分布 与激光横模

### 4.3.1 对称共焦腔内外的光场分布

回顾 —— 讨论自再现模积分方程解的物理意义, 建立了激光模式的概念.

内容 —— 求解对称开腔中的自再现模积分方程, 求出**本征值**和**本征函数**, 了解输出激光的具体场的分布, 从而决定开腔自再现模的全部特征。

$$\sigma_{mn} u_{mn}(x, y) = \iint K(x, y, x', y') u_{mn}(x', y') ds' \quad (3-7)$$

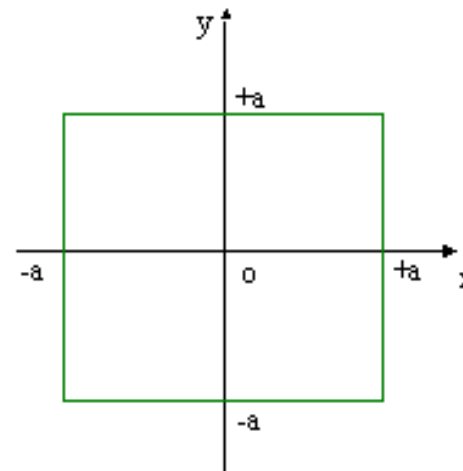
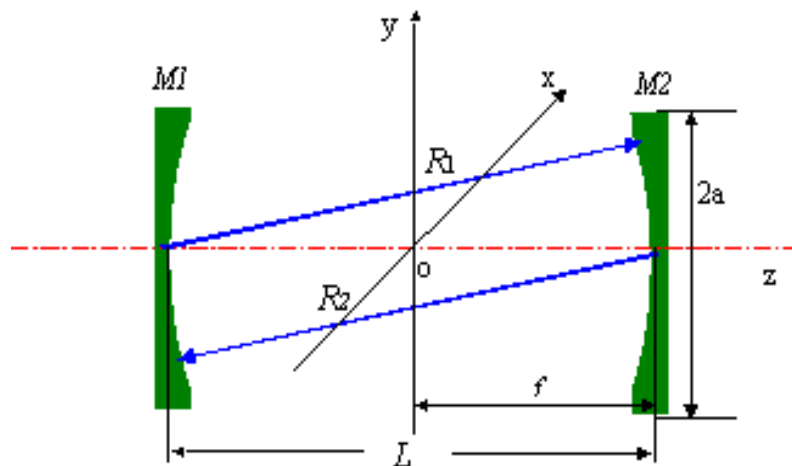
$$K(x, y, x', y') = \frac{ik}{2\pi L} e^{-ik\rho(x, y, x', y')} = \frac{i}{\lambda L} e^{-ik\rho(x, y, x', y')}$$

## 求解本征积分方程可得

- ❖ 镜面上场的振幅分布;
- ❖ 镜面上场的位相分布;
- ❖ 模的衰减;
- ❖ 模的相移;
- ❖ 模的谐振频率。

## 4.3.2 共焦腔镜面上的场分布

### 一. 方形镜面对称共焦腔



$$L \gg a \gg \lambda,$$

$$\frac{a^2}{L\lambda} \gg \left(\frac{L}{a}\right)^2$$

设方镜每边长为 $2a$ ，共焦腔的腔长为 $L$ ，光波波长为 $\lambda$ ，并把 $x$ ， $y$ 坐标的原点选在镜面中心，而以 $(x, y)$ 来表示镜面上的任意点

以方型镜面的对称共焦腔为例,求解(3-7)式方程

$$\sigma_{mn} u_{mn}(x, y) = \iint K(x, y, x', y') u_{mn}(x', y') ds'$$

## 二. 近轴情况下自再现模积分方程的解析解

### 1、本征函数的近似解:

$$u_{mn} \approx C_{mn} H_m(X) H_n(Y) e^{-\frac{X^2 + Y^2}{2}} \quad (3-18)$$

其中  $X = x \sqrt{\frac{2\pi}{\lambda L}}, Y = y \sqrt{\frac{2\pi}{\lambda L}}$   $H_m(X)$  和  $H_n(Y)$  均为厄密多项式

$e^{-\frac{X^2 + Y^2}{2}}$  —— 高斯型函数  $C_{mn}$  —— 常系数

镜面上的场分布是厄米多项式与高斯函数函数的乘积——厄米多项式的零点决定了场图的零点，高斯函数决定了场分布的外形轮廓

### 2、本征值的近似解:

$$\sigma_{mn} = \exp\left[-i\left(kL - (m + n + 1)\frac{\pi}{2}\right)\right] \quad (3-19)$$

本征函数描述共焦腔镜面上场的振幅和相位分布。

### 3. 场分布

$$u_{mn}(x, y) = C_{mn} H_m \left( \sqrt{\frac{2\pi}{L\lambda}} x \right) H_n \left( \sqrt{\frac{2\pi}{L\lambda}} y \right) e^{-\frac{x^2 + y^2}{L\lambda/\pi}}$$

几个低阶厄米多项式的值

$$H_0(\zeta) = 1 \qquad H_1(\zeta) = 2\zeta$$

$$H_2(\zeta) = 4\zeta^2 - 2$$

$$H_3(\zeta) = 8\zeta^3 - 12\zeta$$

$$H_4(\zeta) = 16\zeta^4 - 48\zeta^2 + 12$$

$$H_m(\xi) = (-1)^m e^{\xi^2} \frac{d^m}{d\xi^m} e^{-\xi^2}$$

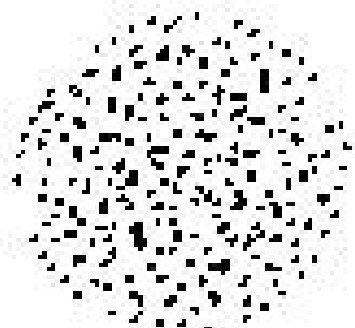
## 一、什么是横模

**横模**：沿光场传播方向的垂直截面上的稳定的光强分布形式。

激光的模式用符号 $\text{TEM}_{mnq}$ 表示， $q$ 是纵模序数， $m$ 和 $n$ 是横模序数，等于垂直光传播方向内两个互相垂直方向上光强极小（暗区）的数目。

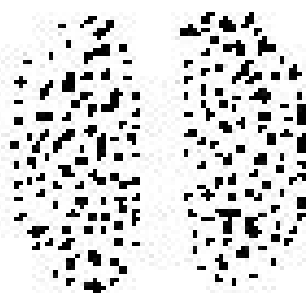
轴对称

TEM<sub>00</sub>(基模)



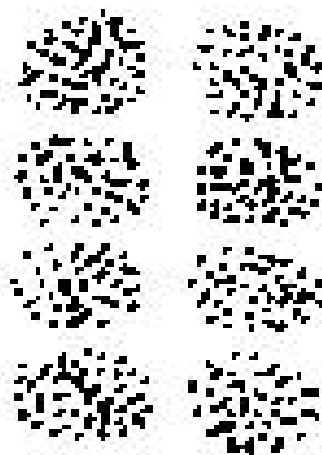
(a) TEM<sub>00</sub>

TEM<sub>10</sub>



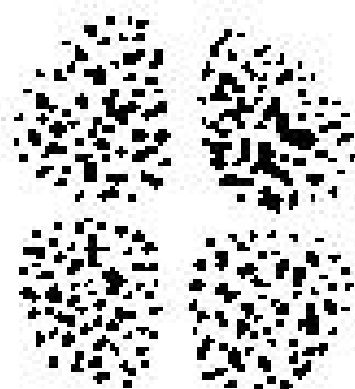
(b) TEM<sub>10</sub>

TEM<sub>11</sub>



(c) TEM<sub>11</sub>

TEM<sub>10</sub>



(d) TEM<sub>10</sub>

$m, n$ 表示 $x, y$ 方向暗区个数。

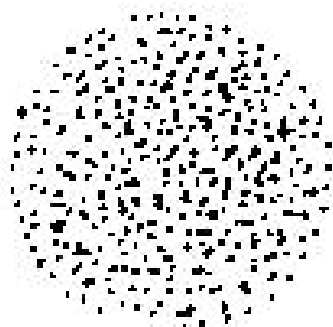


旋转对称

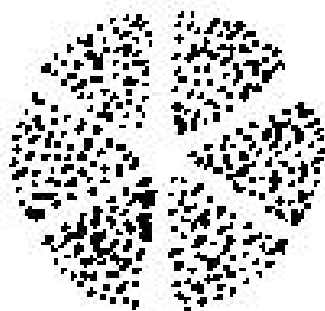
TEM<sub>00</sub>

TEM<sub>03</sub>

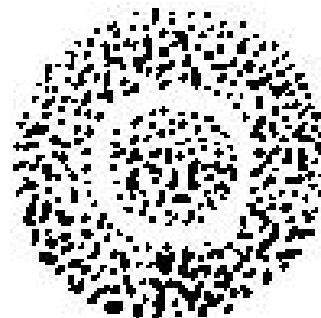
TEM<sub>10</sub>



(e) TEM<sub>00</sub>



(f) TEM<sub>03</sub>



(g) TEM<sub>10</sub>

$m, n$ 表示 $r, \theta$ 方向暗区个数。

基模为TEM<sub>00q</sub>，其余的为高阶模。

### 三. 镜面上自再现模场的特征

#### 1. 厄米—高斯近似共焦腔方型镜上场的振幅（强度）分布

$$u_{mn}(x, y) = C_{mn} H_m\left(\sqrt{\frac{2\pi}{L\lambda}}x\right) H_n\left(\sqrt{\frac{2\pi}{L\lambda}}y\right) e^{-\frac{x^2+y^2}{L\lambda/\pi}} \quad (3-18)$$

① 基模：取（3-18）式中  $m=n=0$ ，得到共焦腔方型镜上基模  $TEM_{00}$  场的分布

$$\begin{aligned} \text{因为} \quad & H_0(\xi) = 1 \\ \text{所以} \quad & u_{00}(x, y) = C_{00} e^{-\frac{x^2+y^2}{L\lambda/\pi}} \end{aligned}$$

可见，基模在镜面上的分布是高斯型的，模的振幅从镜中心（ $x=y=0$ ）向边缘平滑地降落。在离中心的距离为

$$r = \sqrt{x^2 + y^2} = \sqrt{\frac{L\lambda}{\pi}}$$

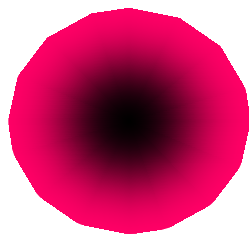
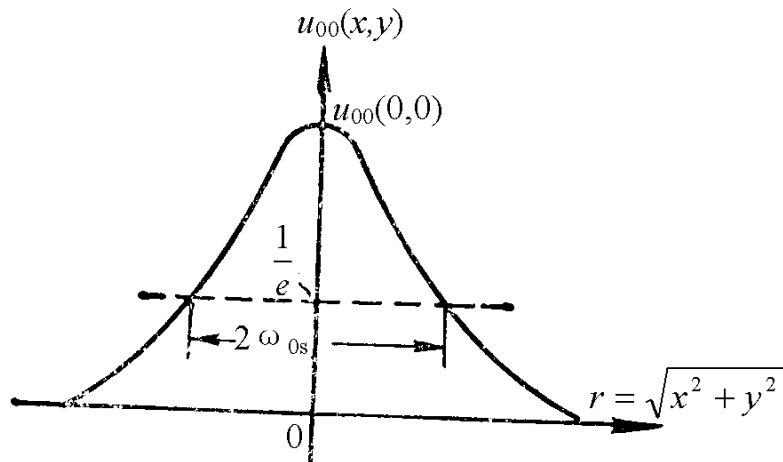
处场的振幅降落为中心处的  $1/e$ 。

②定义基模光斑半径为  $\omega_{0s} = \sqrt{\frac{L\lambda}{\pi}}$

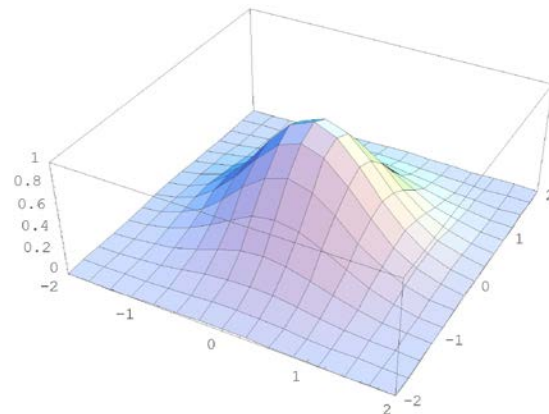
基模振幅最大值的  
1/e处

基模光束的能量集中在光斑有效截面圆内. 上式表明, 共焦腔基模在镜面上的光斑半径与镜的横向尺寸无关, 只与腔长有关。这是共焦腔的主要特征。

$$u_{00}(x, y) = C_{00} e^{-\frac{x^2 + y^2}{L\lambda/\pi}}$$



$TEM_{00}$



数值例：  $L=1m$  ,  $\lambda=10.6\mu m$ ,

共焦腔的  $CO_2$  激光器  $\omega_{0s} \approx 1.84mm$

$L=30cm$  ,  $\lambda=0.6328\mu m$ , 共焦腔的  $H_e-N_e$  激光器

$\omega_{0s} \approx 0.25mm$  可见，共焦腔的光斑半径非常小。

由  $\omega_{0s} = \sqrt{\frac{L\lambda}{\pi}}$  可知, 增大镜面宽度, 只减少衍射损耗, 对光斑尺寸并无影响.

### ③镜面上场的振幅和强度分布—高阶横模

利用基模光斑半径，本征函数的解可以写为：

$$u_{mn}(x, y) = C_{mn} H_m\left(\frac{\sqrt{2}}{\omega_{0s}} x\right) H_n\left(\frac{\sqrt{2}}{\omega_{0s}} y\right) e^{-\frac{x^2 + y^2}{L\lambda/\pi}}$$

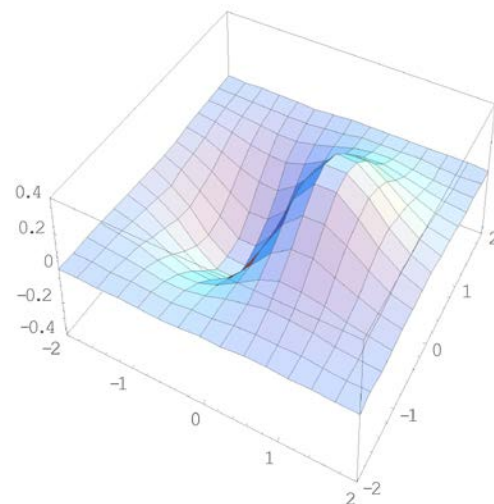
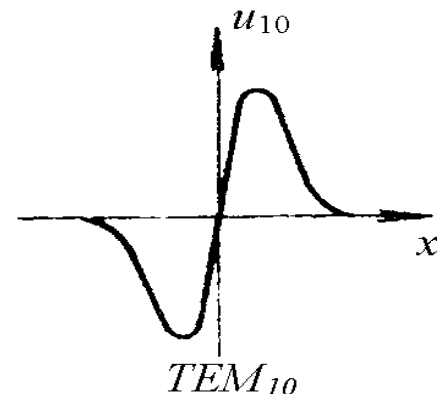
当 $m$ 、 $n$ 取不同时为零的一系列整数时，由上式可得出镜面上各高阶横模的振幅分布

因为  $H_1(\xi) = 2\xi$   $H_0(\xi) = 1$  故

$$u_{10} = C_{10} \frac{2\sqrt{2}}{\omega_{0s}} x \cdot \exp\left(-\frac{x^2 + y^2}{L\lambda/\pi}\right)$$

$$= C'_{10} x \cdot \exp\left(-\frac{x^2 + y^2}{\omega_{0s}}\right)$$

当 $x = 0$ 时 $u_{10} = 0$ ，出现一条暗线



$$u_{mn}(x, y) = C_{mn} H_m\left(\frac{\sqrt{2}}{\omega_{0s}} x\right) H_n\left(\frac{\sqrt{2}}{\omega_{0s}} y\right) e^{-\frac{x^2 + y^2}{L\lambda/\pi}}$$

因为  $H_1(\xi) = 2\xi$   $H_0(\xi) = 1$  故

$$u_{01} = C_{01} \frac{2\sqrt{2}}{\omega_{0s}} y \cdot \exp\left(-\frac{x^2 + y^2}{L\lambda/\pi}\right)$$

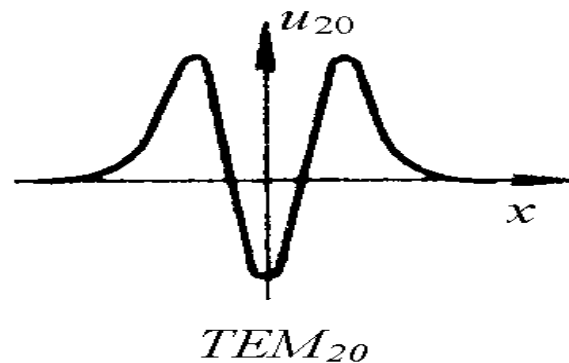
$$= C'_{01} y \cdot \exp\left(-\frac{x^2 + y^2}{\omega_{0s}}\right)$$

当  $y = 0$  时  $u_{01} = 0$ , 出现一条暗线



$TEM_{01}$

$$u_{mn}(x, y) = C_{mn} H_m\left(\frac{\sqrt{2}}{\omega_{0s}} x\right) H_n\left(\frac{\sqrt{2}}{\omega_{0s}} y\right) e^{-\frac{x^2 + y^2}{L\lambda/\pi}}$$



因为  $H_2(\xi) = 4\xi^2 - 2$        $H_0(\xi) = 1$     故

$$u_{20} = C_{20} \left[ 4 \frac{2x^2}{\omega_{0s}^2} - 2 \right] \cdot \exp\left(-\frac{x^2 + y^2}{\frac{L\lambda}{\pi}}\right)$$

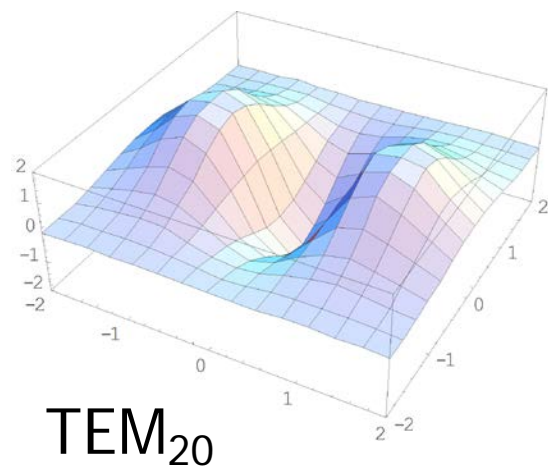


$$= C'_{20} (4x^2 - \omega_{0s}^2) \cdot \exp\left(-\frac{x^2 + y^2}{\omega_{0s}^2}\right)$$

$TEM_{20}$

$$x = \pm \frac{\omega_{0s}}{2} \quad \text{时} \quad u_{20} = 0$$

$x$ 方向出现两条暗线



$$u_{mn}(x, y) = C_{mn} H_m\left(\frac{\sqrt{2}}{\omega_{0s}} x\right) H_n\left(\frac{\sqrt{2}}{\omega_{0s}} y\right) e^{-\frac{x^2 + y^2}{L\lambda/\pi}}$$

因为  $H_2(\xi) = 4\xi^2 - 2$        $H_0(\xi) = 1$     故

$$u_{02} = C_{02} \left[ 4 \frac{2y^2}{\omega_{0s}^2} - 2 \right] \cdot \exp\left(-\frac{x^2 + y^2}{\frac{L\lambda}{\pi}}\right)$$

$$= C'_{02} (4y^2 - \omega_{0s}^2) \cdot \exp\left(-\frac{x^2 + y^2}{\omega_{0s}^2}\right)$$

$$y = \pm \frac{\omega_{0s}}{2} \quad \text{时} \quad u_{02} = 0$$

y方向出现两条暗线



$TEM_{02}$



$$u_{mn}(x, y) = C_{mn} H_m\left(\frac{\sqrt{2}}{\omega_{0s}} x\right) H_n\left(\frac{\sqrt{2}}{\omega_{0s}} y\right) e^{-\frac{x^2+y^2}{L\lambda/\pi}}$$

因为  $H_1(\xi) = 2\xi$  故

$$u_{11} = C_{11} \cdot 4 \cdot \frac{2}{\omega_{0s}^2} xy \cdot \exp\left(-\frac{x^2 + y^2}{\omega_{0s}^2}\right)$$

$$= C'_{11} xy \cdot \exp\left(-\frac{x^2 + y^2}{\omega_{0s}^2}\right)$$

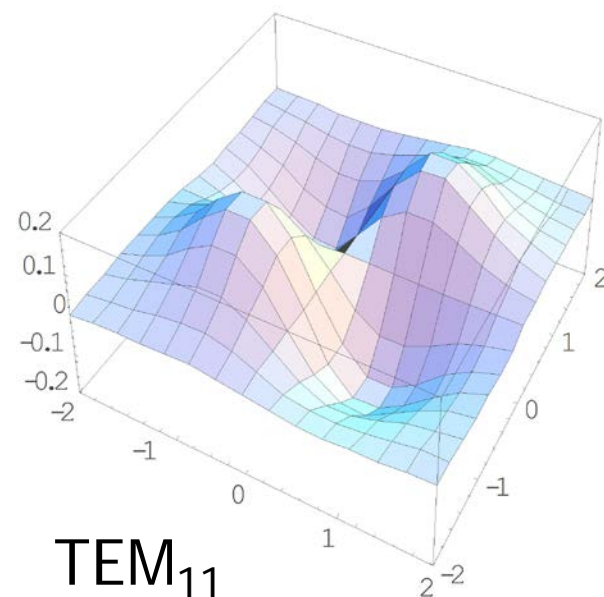
当  $x = 0$  时  $u_{11} = 0$

$y = 0$  时  $u_{11} = 0$

在  $x$ 、 $y$  方向各出现一条暗线



$TEM_{11}$



$TEM_{11}$

$$u_{mn}(x, y) = C_{mn} H_m\left(\frac{\sqrt{2}}{\omega_{0s}} x\right) H_n\left(\frac{\sqrt{2}}{\omega_{0s}} y\right) e^{-\frac{x^2+y^2}{L\lambda/\pi}}$$

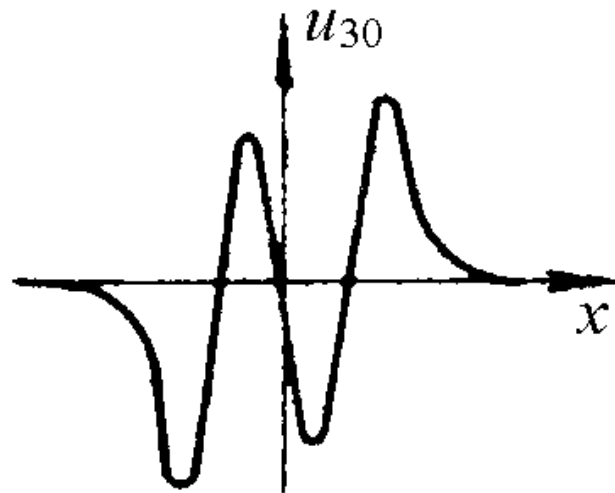
因为  $H_3(\xi) = 8\xi^3 - 12\xi$        $H_0(\xi) = 1$       故

$$u_{30} = C_{30} \left( \frac{16\sqrt{2}}{\omega_{0s}^3} x^3 - \frac{12\sqrt{2}}{\omega_{0s}} x \right) \exp\left(-\frac{x^2+y^2}{\omega_{0s}^2}\right)$$

当  $x=0$  和  $x = \pm \frac{\sqrt{3}}{2} \omega_{0s}$  时

$$u_{30} = 0$$

在  $x$  方向各出现三条暗线



$TEM_{30}$

$$u_{mn}(x, y) = C_{mn} H_m\left(\frac{\sqrt{2}}{\omega_{0s}} x\right) H_n\left(\frac{\sqrt{2}}{\omega_{0s}} y\right) e^{-\frac{x^2+y^2}{L\lambda/\pi}}$$



$TEM_{03}$



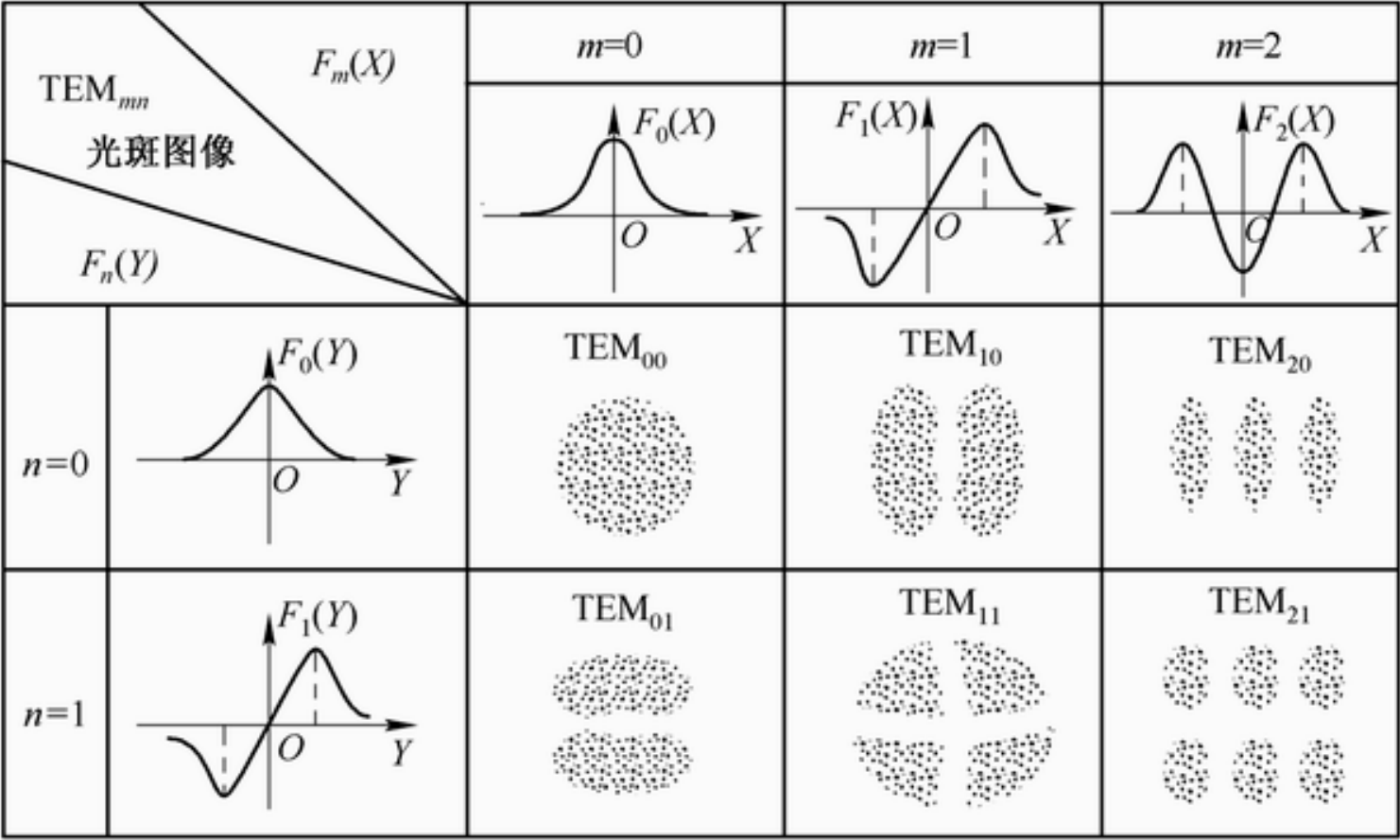
$TEM_{31}$

可以看出， $TEM_{mn}$ 模在镜面上振幅分布的特点取决于厄米多项式与高斯函数的乘积。厄米多项式的零点决定场的节线，厄米多项式的正负交替的变化与高斯函数随着 $x$ 、 $y$ 的增大而单调下降的特征决定着场分布的外形轮廓。

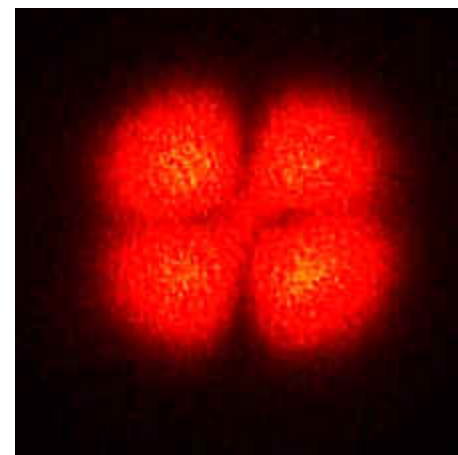
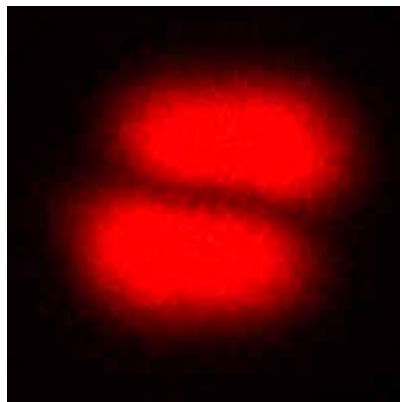
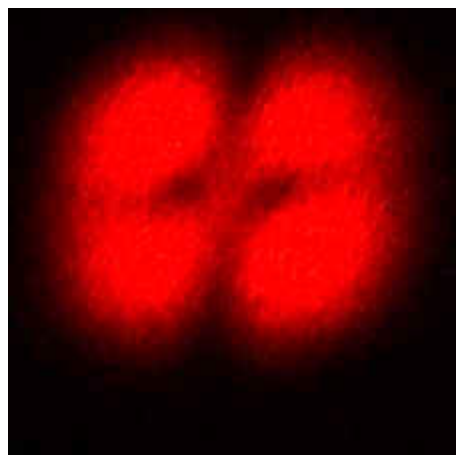
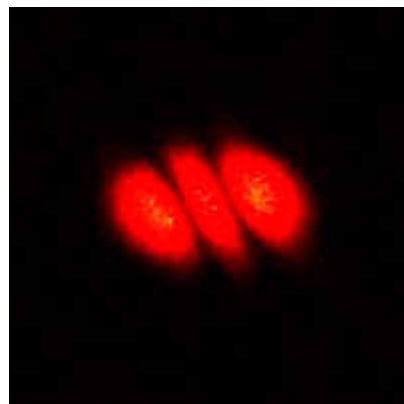
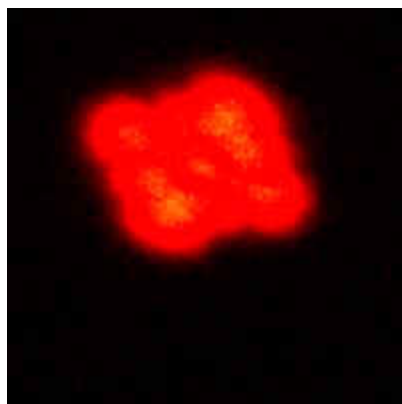
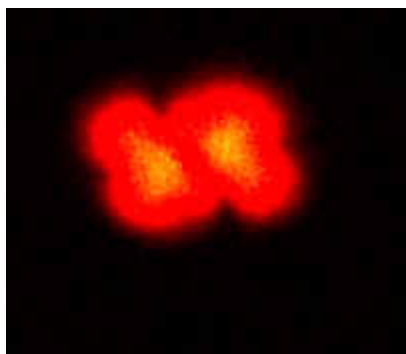
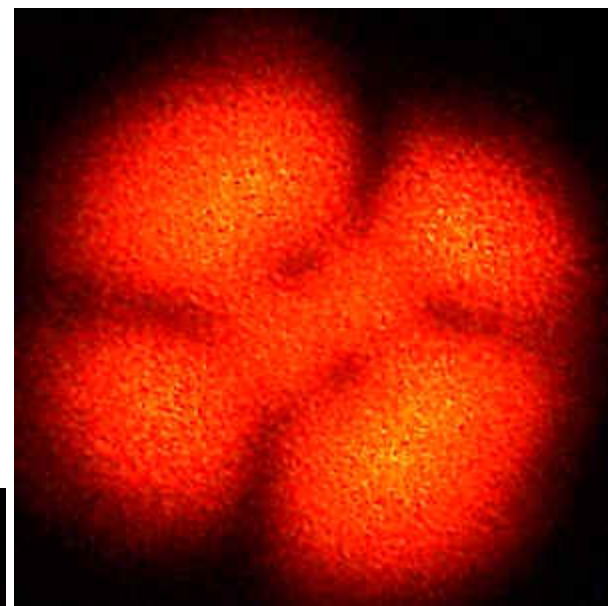
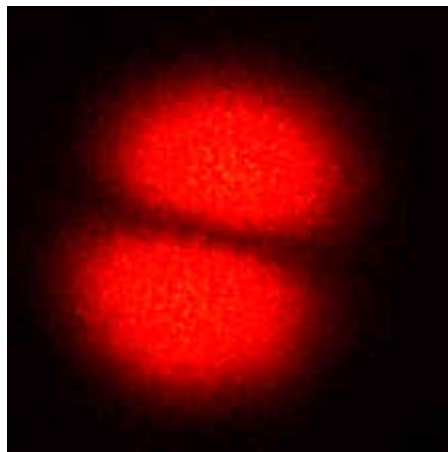
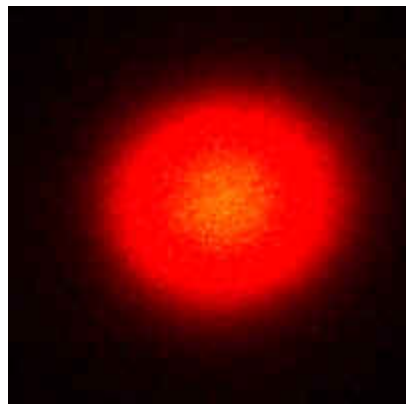
④高阶模的光斑尺寸与基模的关系

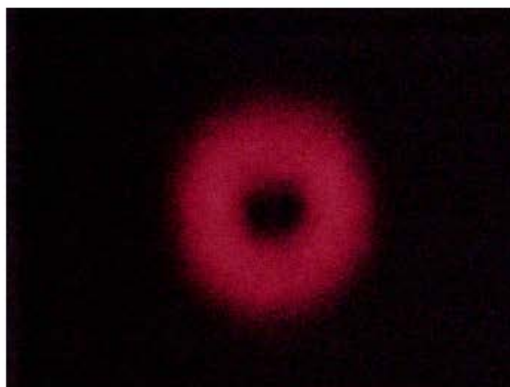
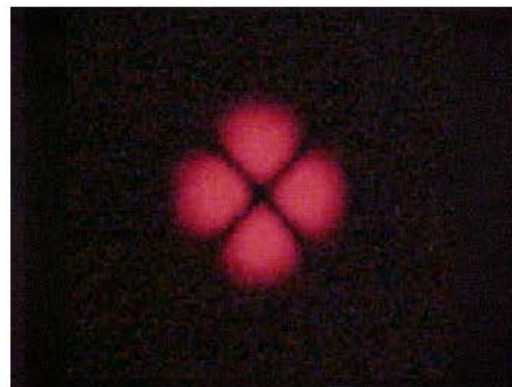
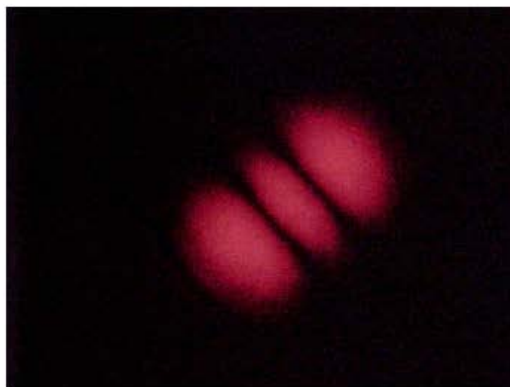
$$\left. \begin{aligned} \omega_{ms} &= \sqrt{2m+1}\omega_{0s} \\ \omega_{ns} &= \sqrt{2n+1}\omega_{0s} \end{aligned} \right\}$$

可见, 阶次越高, 光斑半径越大, 光强分布越偏离中心.



图(3-5)  $F_m(X)-X$ 及 $F_n(Y)-Y$ 的变化曲线及相应的光强分布





$\text{HG}_{10} \Rightarrow \text{LG}_{10}$

$\text{HG}_{20} \Rightarrow \text{LG}_{20}$

$\text{HG}_{11} \Rightarrow \text{LG}_{11}$

- Description of light

- Intensity,  $I \geq 0$
- Phase,  $2\pi \geq \phi \geq 0$

$$\phi = \omega t + kz + \ell\theta$$

$\ell = 0$ , plane wave

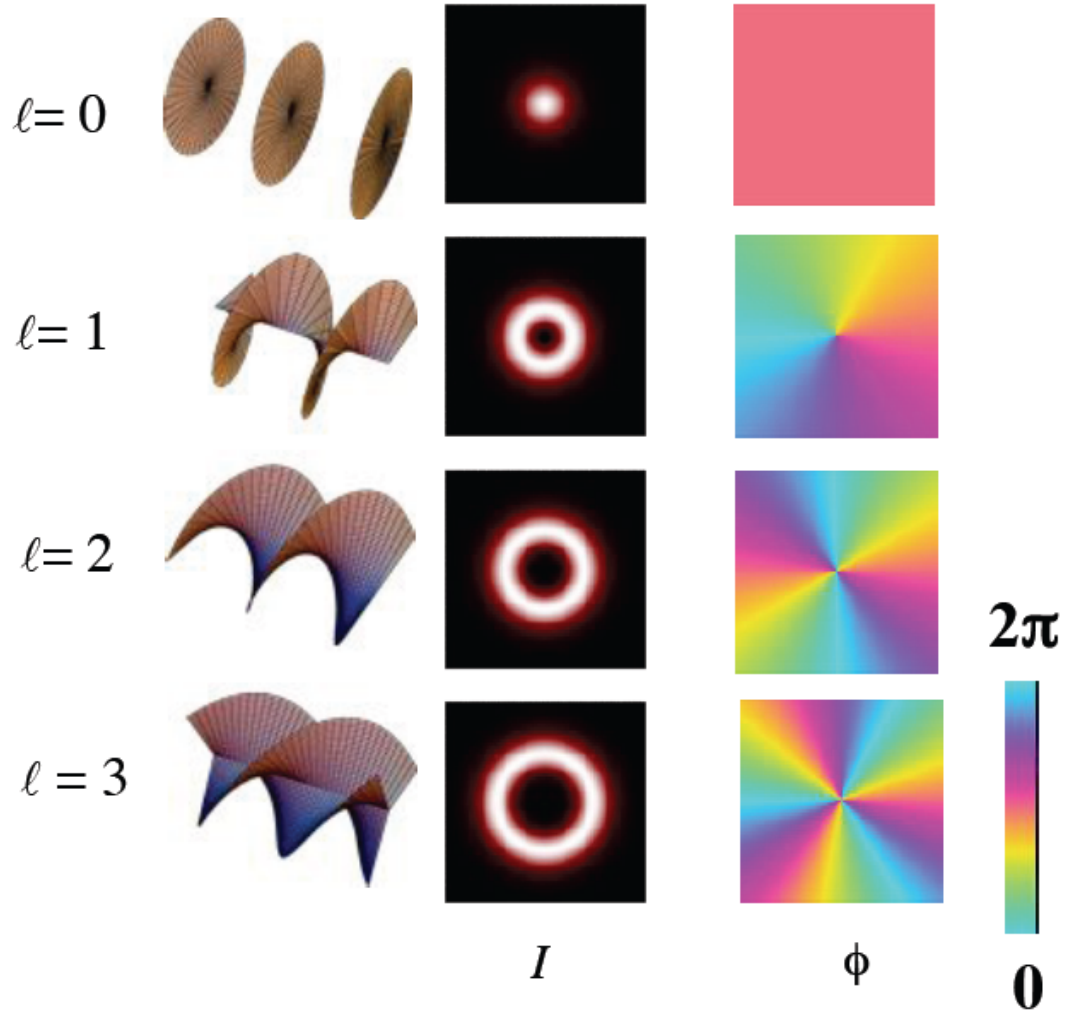
$\ell = 1$ , helical wave

$\ell = 2$ , double helix

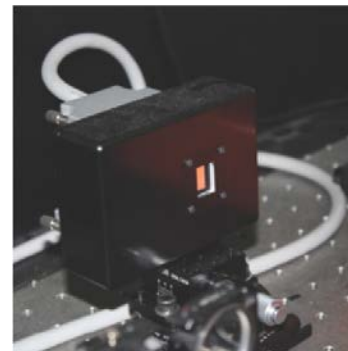
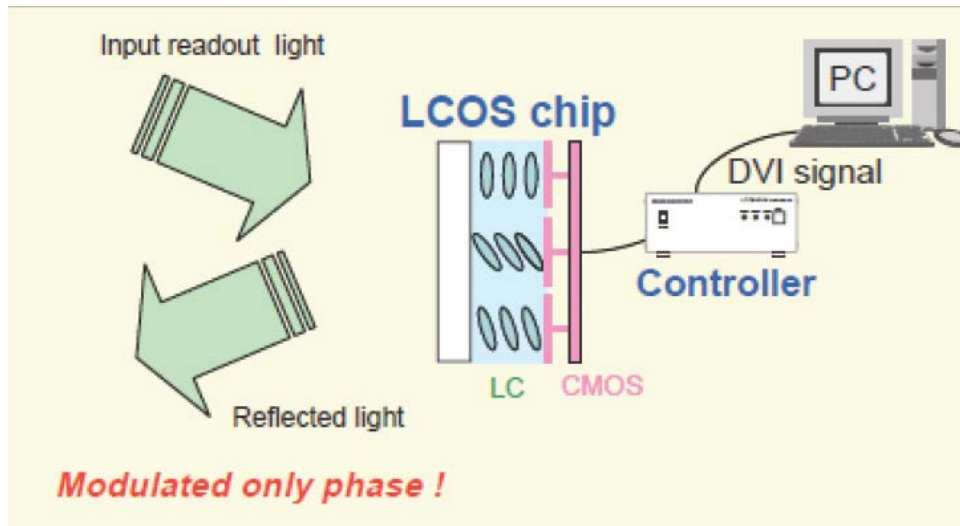
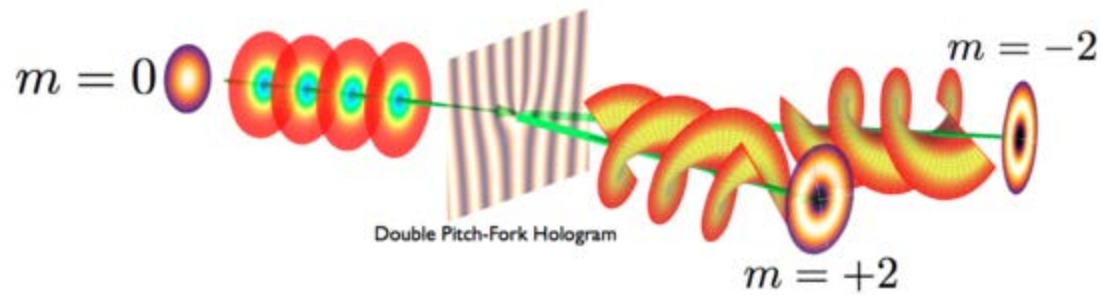
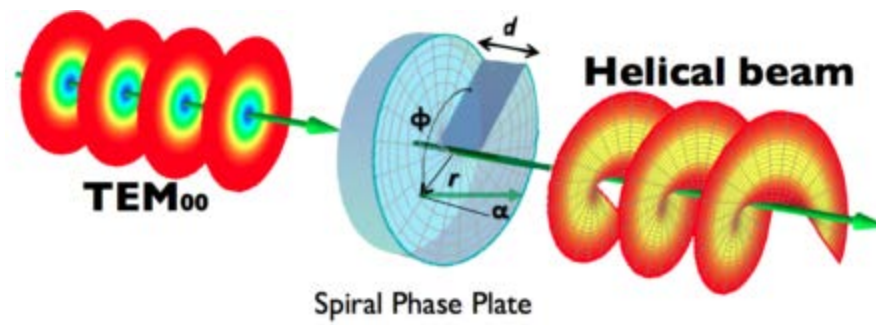
$\ell = 3$ , pasta fusilli

etc.

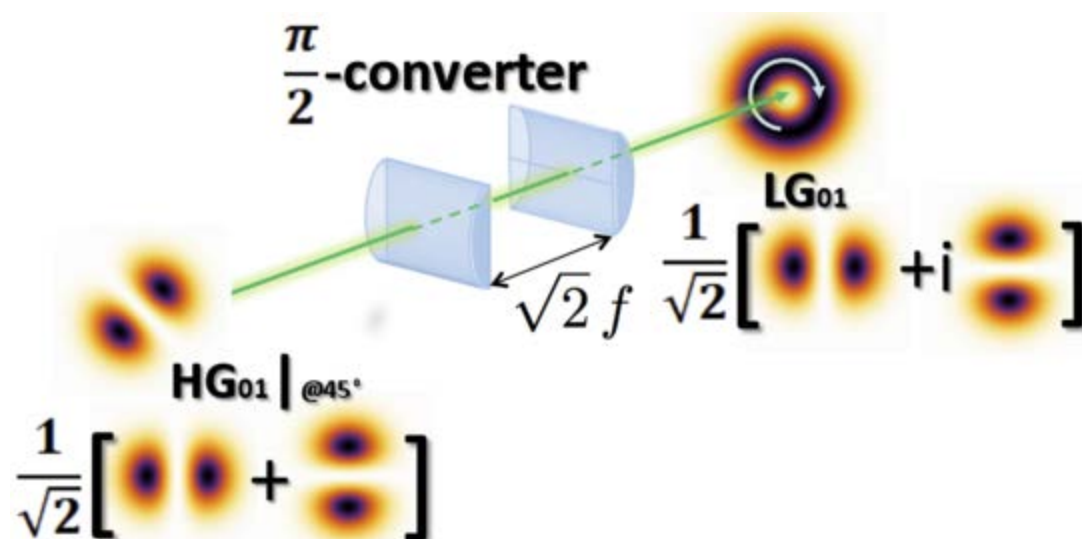
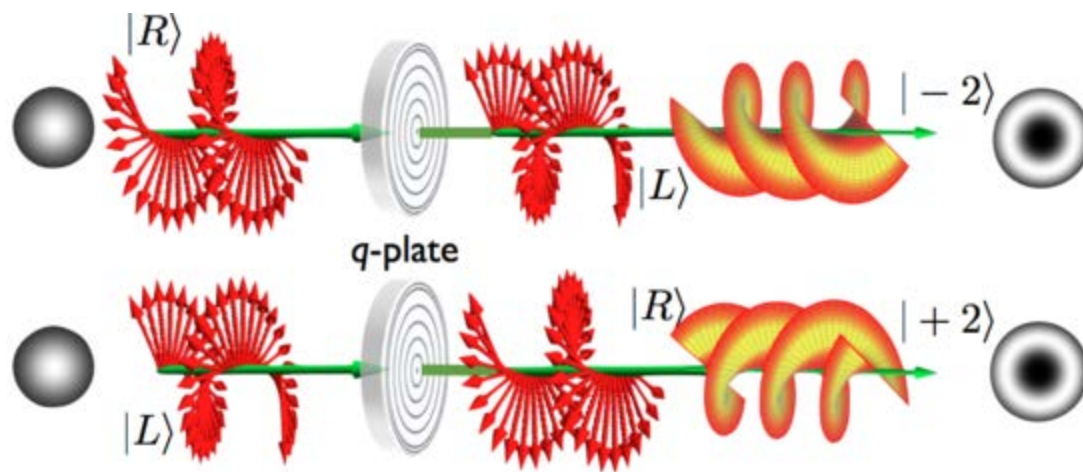
$\ell$  = vortex charge











2. 镜面上场位相分布:共焦腔反射镜面本身构成光场的一个等相位面。

①由自再现模 $u_{mn}(x, y)$ 的辐角决定。

$$u_{mn}(x, y) = C_{mn} H_m\left(\frac{\sqrt{2}}{\omega_{0s}} x\right) H_n\left(\frac{\sqrt{2}}{\omega_{0s}} y\right) e^{-\frac{x^2 + y^2}{L\lambda/\pi}}$$

由于  $u_{mn}(x, y)$  为实函数, 说明镜面上各点的光场相位相同,  
共焦腔反射镜面本身构成光场的一个等相位面

注意：不同于平行平面腔！平行平面腔镜面上不同相。

### 3. 单程相移与谐振频率:

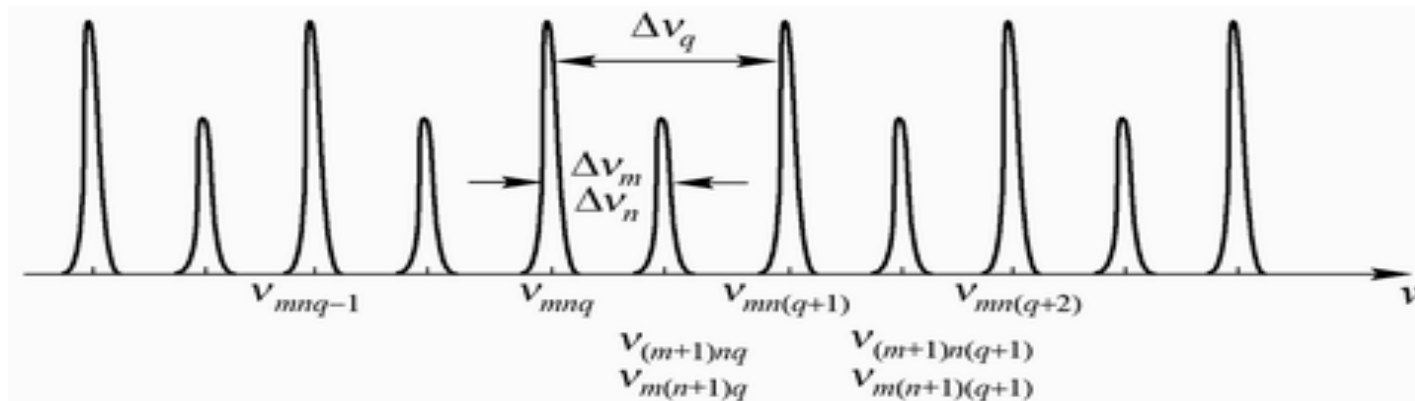
$$\left. \begin{aligned} \Delta\phi_{mn} &= kL + \arg \sigma_{mn} \\ \sigma_{mn} &= e^{-i[kL - (m+n+1)\frac{\pi}{2}]} \end{aligned} \right\} \Rightarrow \left. \begin{aligned} \Delta\phi_{mn} &= (m+n+1)\pi/2 \\ v_{mnq} &= \frac{qc}{2\mu L} + \frac{c}{2\pi\mu L} \Delta\phi_{mn} \end{aligned} \right\}$$

$$\Rightarrow v_{mnq} = \frac{c}{2\mu L} \left[ q + \frac{1}{2}(m+n+1) \right] \Rightarrow$$

而当 $q$ 一定时，若 $m$ 、 $n$ 改变，则横模的频率也将发生变化

$$\left\{ \begin{aligned} \Delta v_m &= v_{m+1,nq} - v_{mnq} = \frac{1}{2} \frac{c}{2\mu L} = \frac{1}{2} \Delta v_q \\ \Delta v_n &= v_{m,n+1,q} - v_{mnq} = \frac{1}{2} \frac{c}{2\mu L} = \frac{1}{2} \Delta v_q \end{aligned} \right.$$

由以上两式可得共焦腔的振荡频率图



图(3-6) 方形镜共焦腔的振荡频谱

$$\nu_{mnq} = \frac{c}{2\mu L} \left[ q + \frac{1}{2}(m + n + 1) \right]$$

普通激光器的输出都是多模的

从上式可以看见，共焦腔在频率上是高度简并的，

$(2q+m+n)$  相同的所有模式都具有相同的谐振频率。

如：  $TEM_{mnq}$  ,  $TEM_{m-1, n+1, q}$  ,  $TEM_{m, n-2, q+1}$  ,  $TEM_{m-2, n, q+1}$  ,

$TEM_{m+1, n-3, q+1}$  等都有相同的频率。这种现象会对激光器的工作状态产生不良影响。因为所有频率相等的模式都处在激活介质的增益曲线的相同位置处, 从而彼此间产生强烈的竞争作用, 导致多模振荡, 使输出激光光束质量变坏。

## ◆激光多横模振荡示意图

激光器通常情况下输出的是多横模，  
为多种横模相互叠加的光斑。

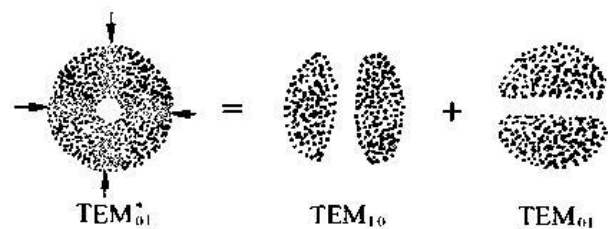
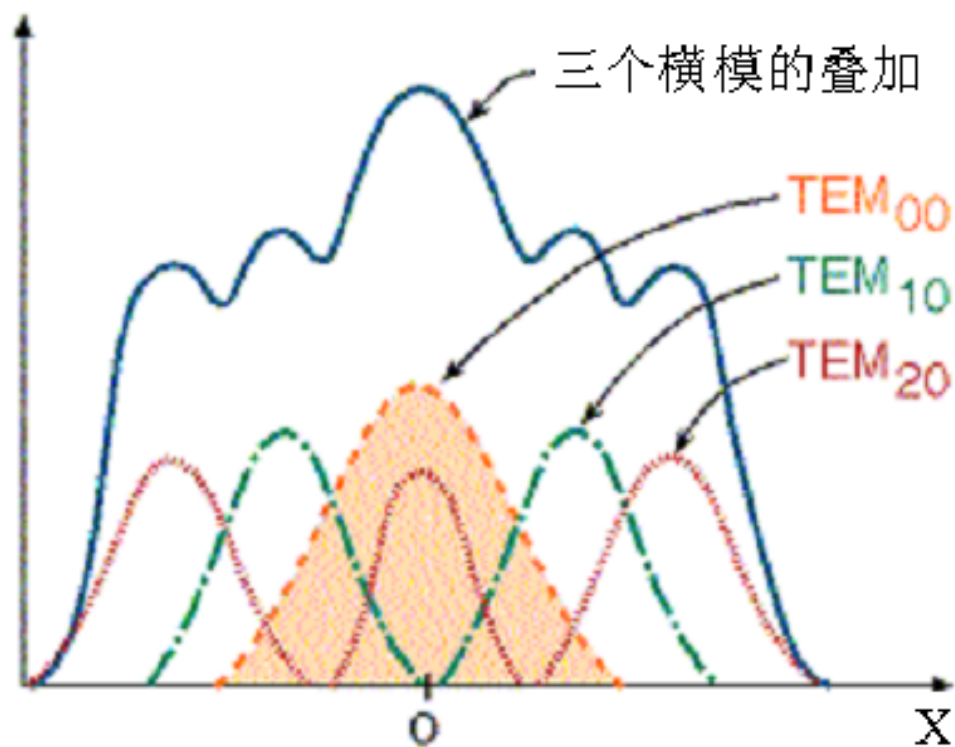


图 3-5-2 简并模

简并模：由不同横模合成的模式。

$$TEM_{01}^* = TEM_{10} + TEM_{01}$$

光强



# 自再现模积分方程

↓ 解析

对称共焦腔



本征函数、本征值



方形，圆形共焦腔镜面场分布， $\delta_D$ ， $v_{mnq}$



腔内、外行波场



高斯光束

↓ \*等效

一般稳定球面镜腔